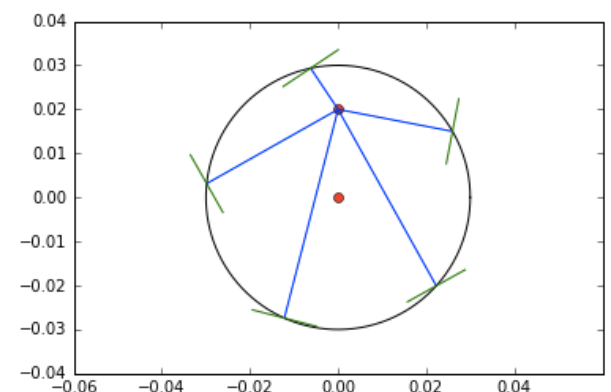
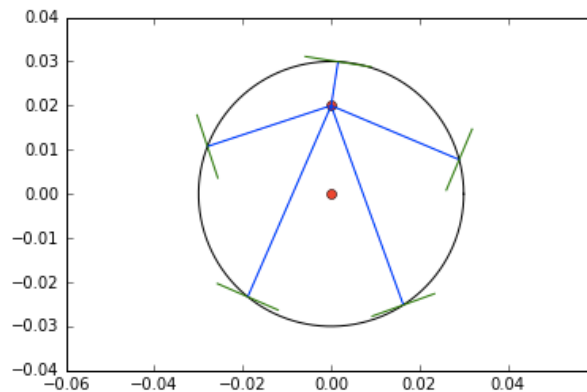
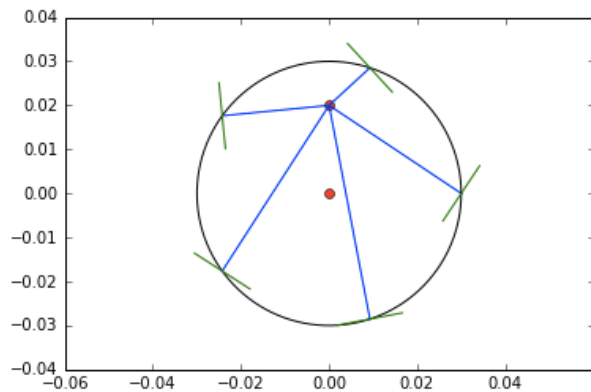
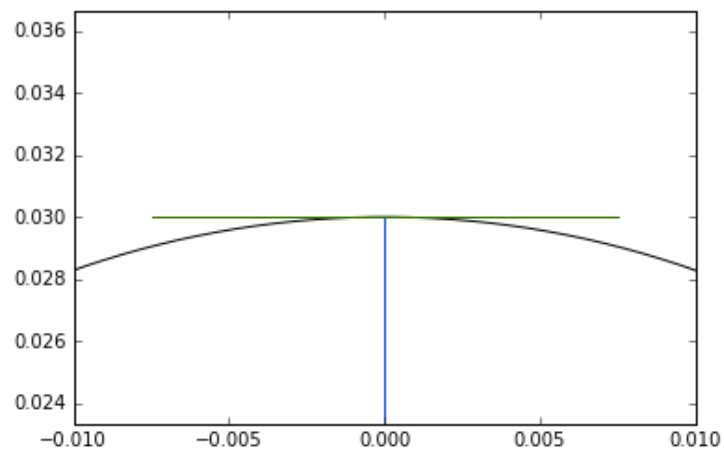
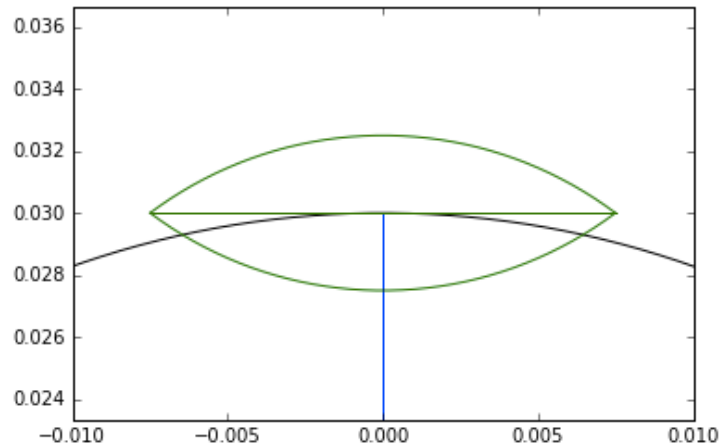


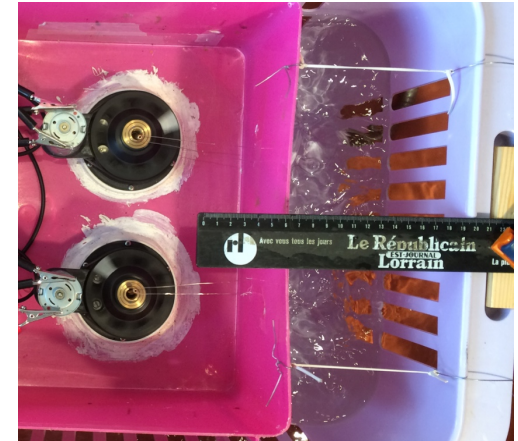
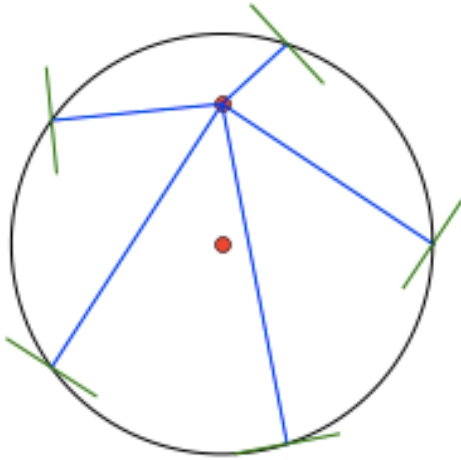
# Le Propulseur Voith-Schneider



# Principe de fonctionnement



# Optimalité : choix, contraintes, hasard



- I. Création d'une pale et étude de celle-ci en soufflerie
- II. Étude théorique des forces s'exerçant sur les pales
- III. Vérification de notre modèle grâce à une maquette

# I. Création d'une pale et étude de celle-ci en soufflerie

- Estimation du nombre de Reynolds :  $Re = \frac{\rho_{eau} \cdot V_{pale/eau} \cdot L_{Pale}}{\eta_{eau}}$

## Système réel

Dimensions caractéristiques :

- Rayon du propulseur : 1 m
- Largeur d'une pale : 30 cm
- Vitesse d'un pale : 10 m/s

$$Re = \frac{1000 \cdot 10 \cdot 0,30}{10^{-3}} = 3 \cdot 10^6$$

→ Écoulement turbulent



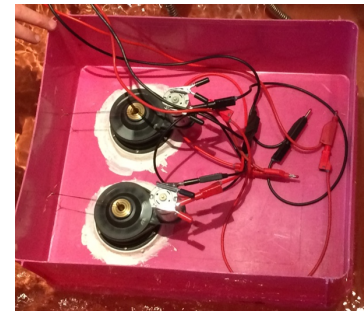
## Maquette

Dimensions caractéristiques :

- Rayon du propulseur : 3cm
- Largeur d'une pale : 1.5 cm
- Vitesse d'un pale : 1 m/s

$$Re = \frac{1000 \cdot 1 \cdot 0,015}{10^{-3}} = 1,5 \cdot 10^4$$

→ Écoulement turbulent

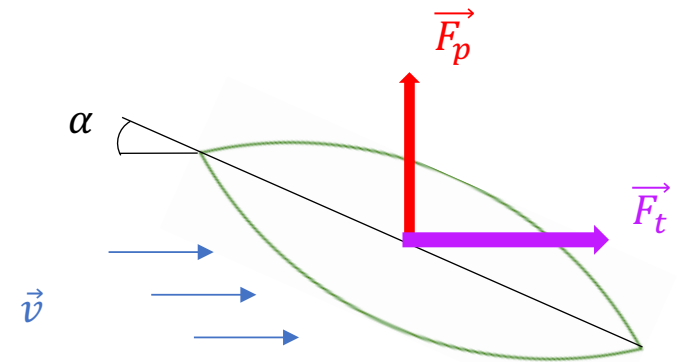


# I. Création d'une pale et étude de celle-ci en soufflerie

Modèle retenu pour les pales du moteur:

$$F_t = \frac{1}{2} \cdot C_t \cdot \rho \cdot S \cdot v^2$$

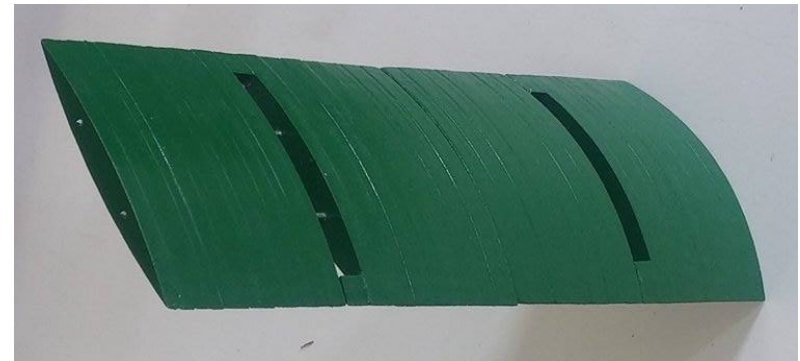
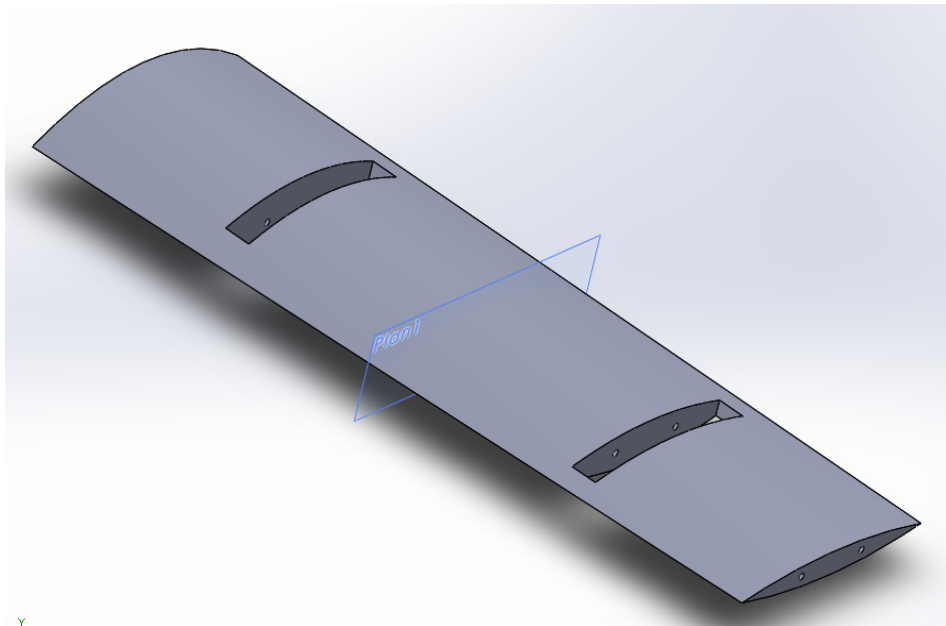
$$F_p = \frac{1}{2} \cdot C_p \cdot \rho \cdot S \cdot v^2$$



- $C_t$ ,  $C_p$  les coefficients de traînée et de portance (sans dimension), qui dépendent de l'incidence  $\alpha$
- Ces coefficients vont être déterminés en soufflerie

## a) Création d'une pale à plus grande échelle

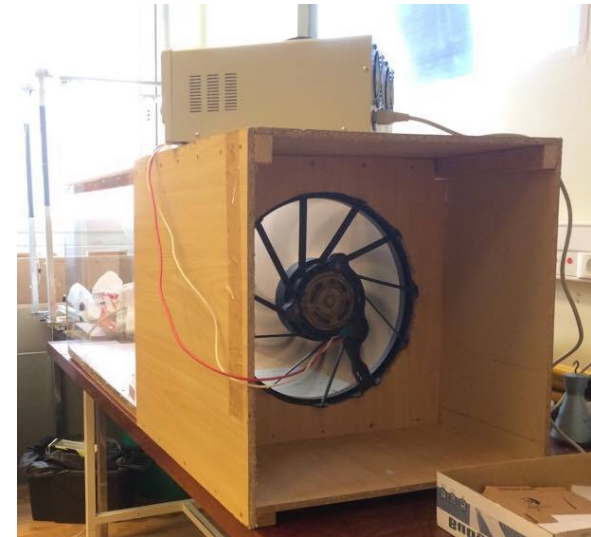
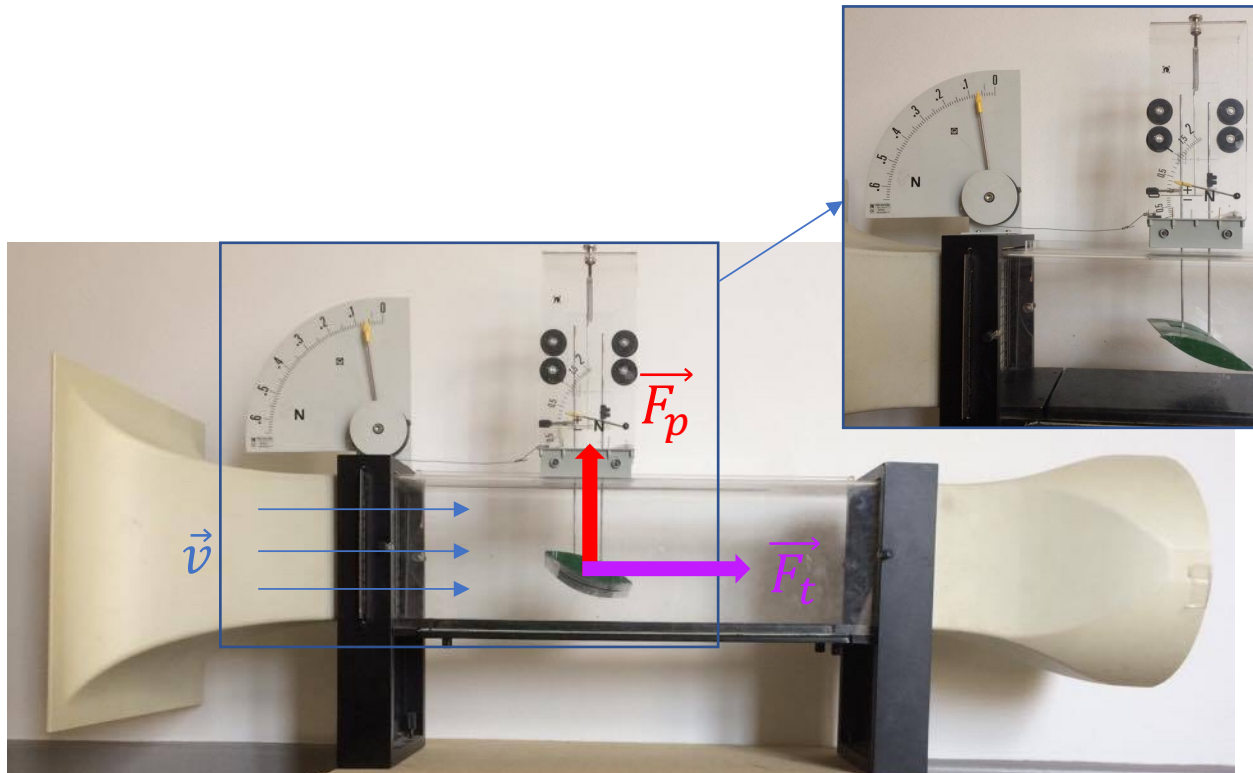
- À l'aide du logiciel Solidworks, création d'un modèle d'une pale.
- Réalisation de celle-ci par stratoconception à l'échelle 6/1.





## b) Détermination expérimentale des caractéristiques de la pale

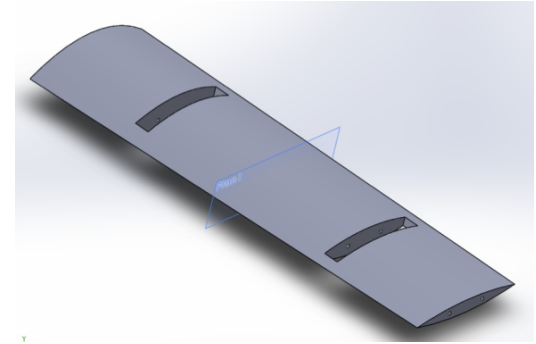
- Expériences réalisées par mon binôme.
- Objectif : Établir une relation entre le carré de la vitesse du vent et les forces exercées sur la pale.



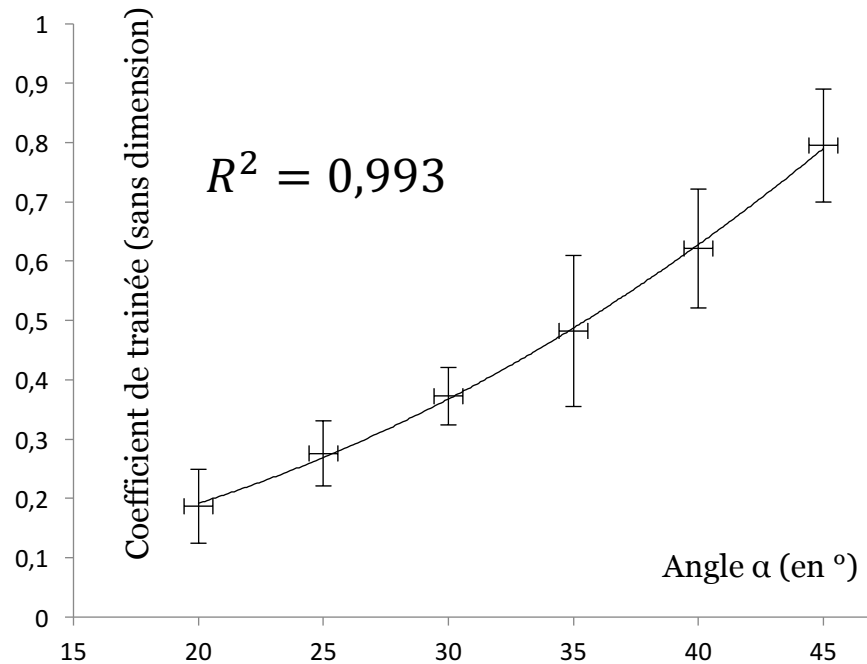
# c) Modèles mathématiques retenus

$$C_t = 4,24 \cdot 10^{-4} \cdot \alpha^2 - 3,61 \cdot 10^{-3} \cdot \alpha + 9,46 \cdot 10^{-2}$$

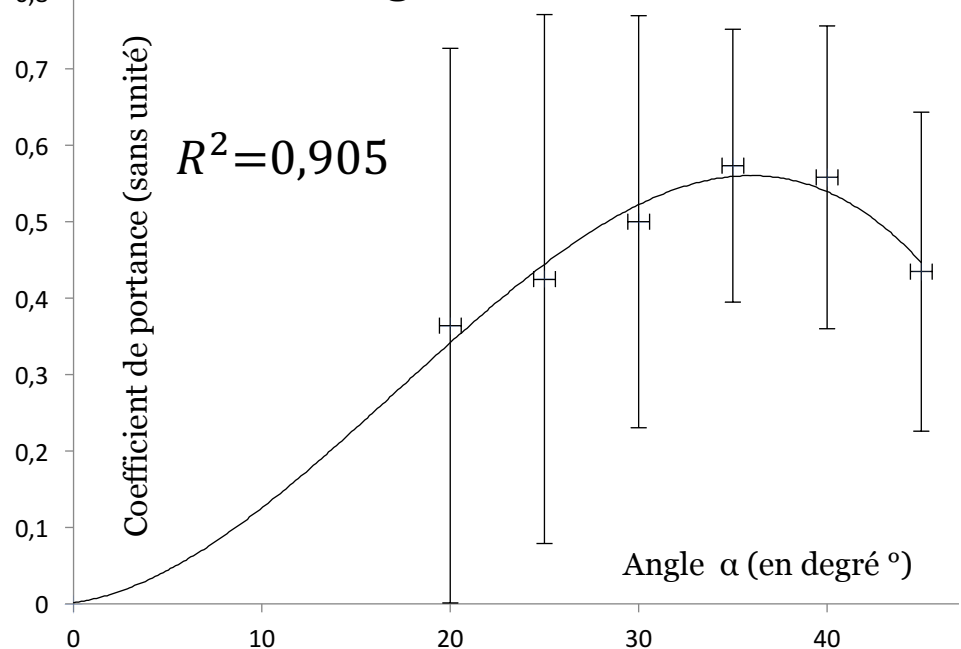
$$C_p = -1,75 \cdot 10^{-5} \cdot \alpha^3 + 7,12 \cdot 10^{-4} \cdot \alpha^2 + 1,19 \cdot 10^{-2} \cdot \alpha$$



Coefficient de traînée en fonction de l'angle d'incidence



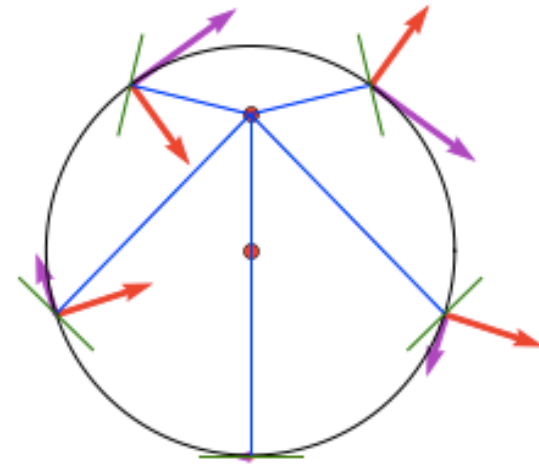
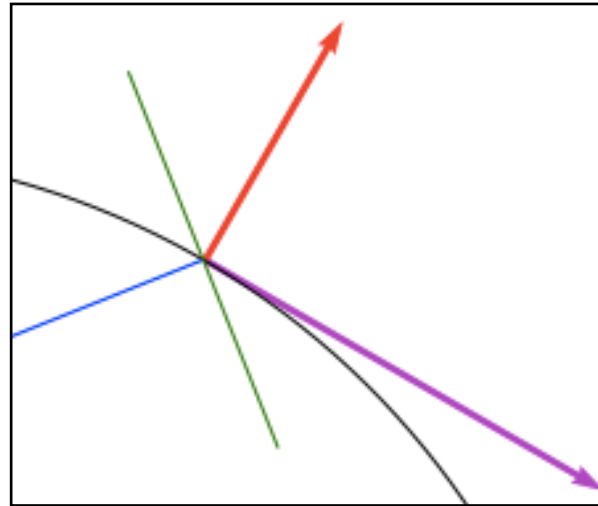
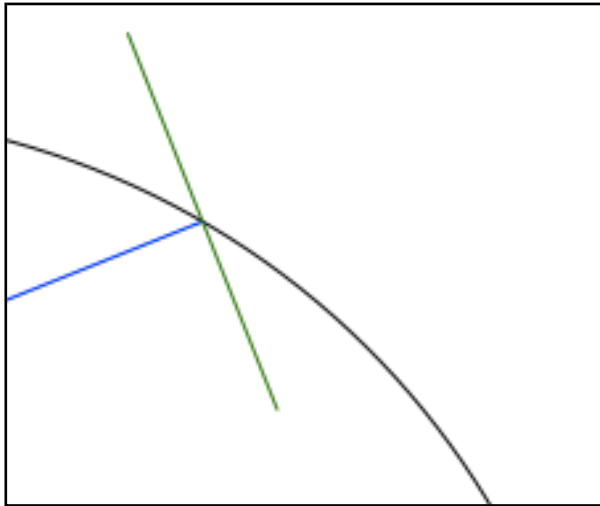
Coefficient de portance en fonction de l'angle d'incidence





## II. Etude théorique des forces s'exerçant sur les pales

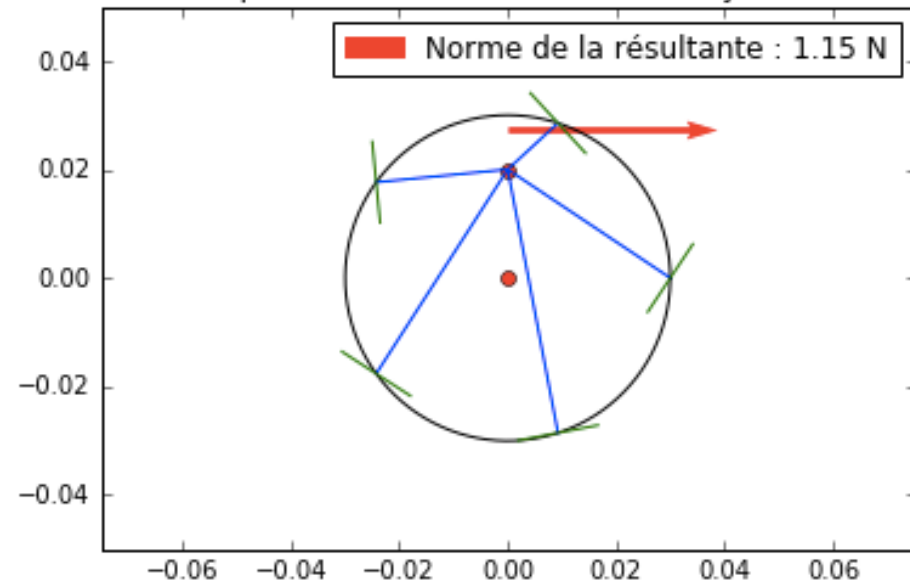
- Utilisation de Python pour les calculs complexes.
- Représentation des pales à différents instants.
- Utilisation des modèles pour  $C_t$  et  $C_p$  afin de déterminer les efforts développés.



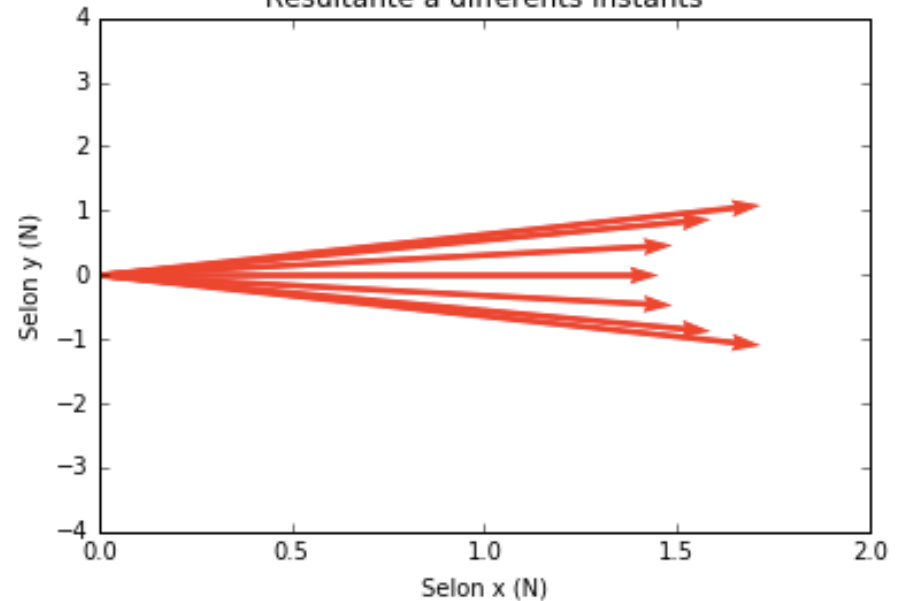
## a) Résultante totale

- On remarque que la résultante n'est pas constante au cours du mouvement. Elle a une période de 1/5ème de la durée de révolution.
- On peut calculer une résultante moyenne car sa période est très courte pour une utilisation classique du moteur.

Représentation de la résultante moyenne

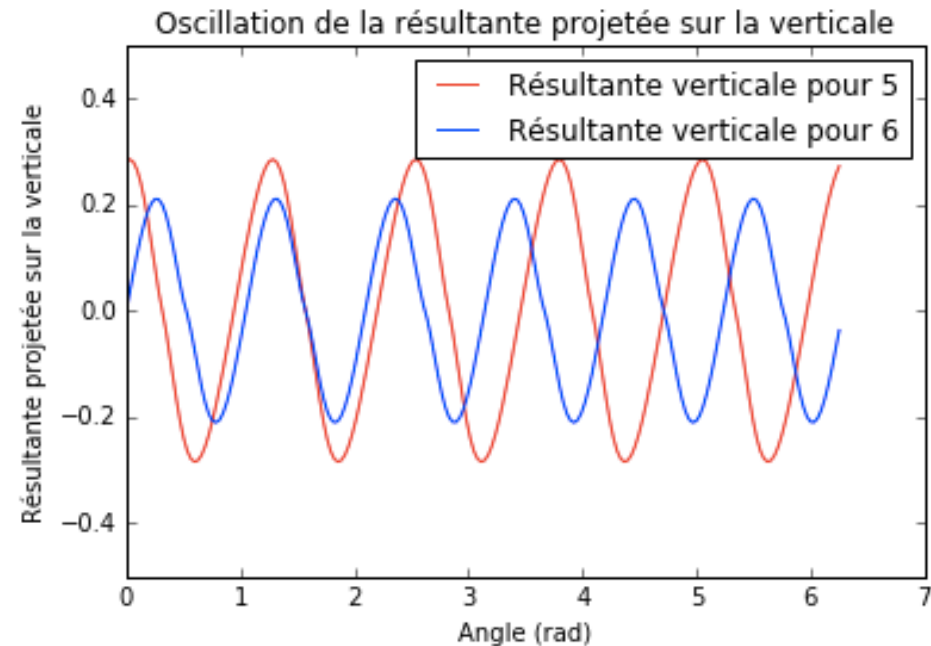
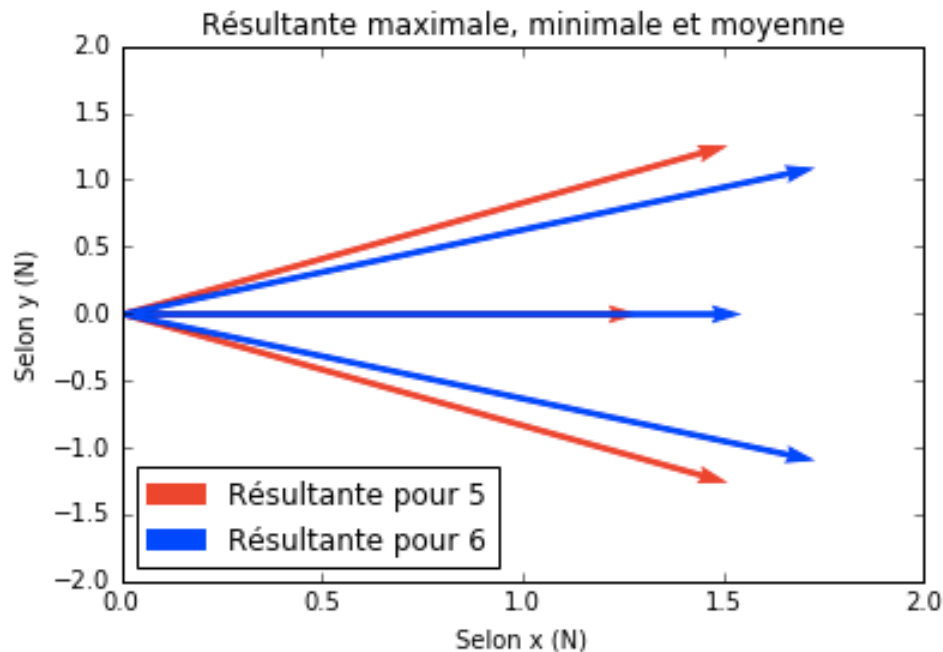


Résultante à différents instants



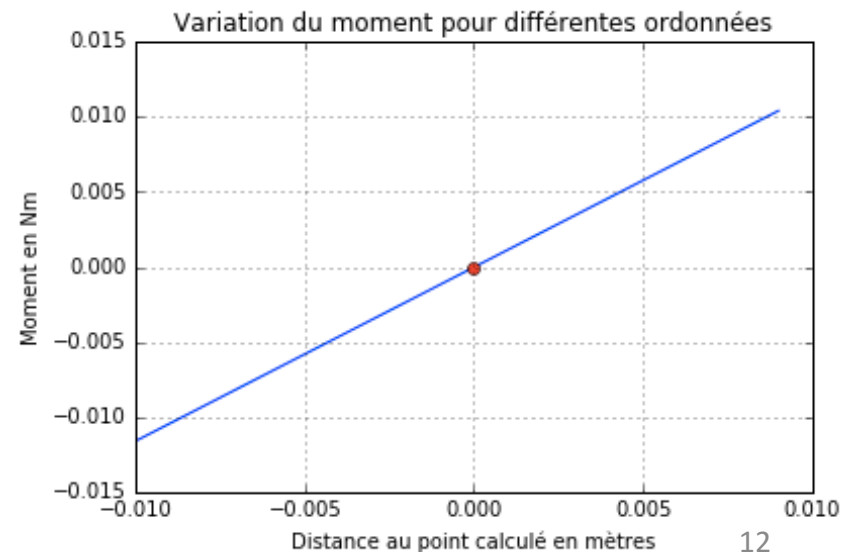
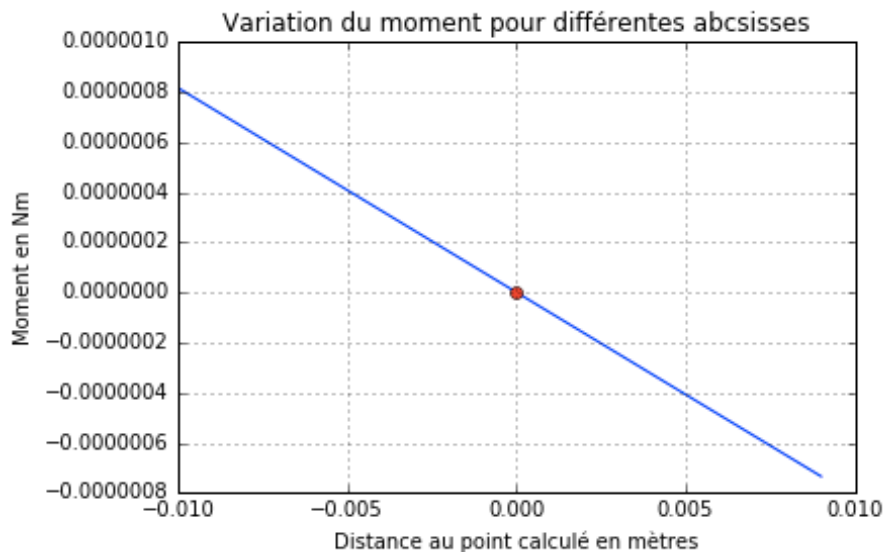
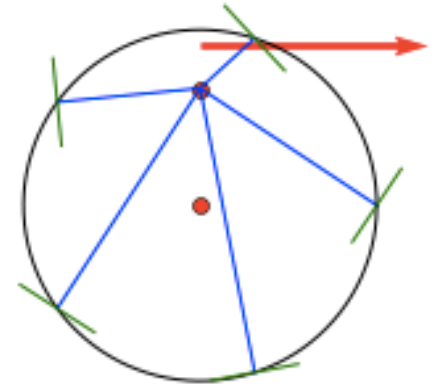
## b) Influence du nombre de pales sur les variations de la résultante

- Du point de vue de la conception, le nombre de pale a une influence sur le comportement de la résultante.
- On peut visualiser à plusieurs instants celle-ci grâce à Python, pour différents paramètres.



## c) Point d'application de la résultante

- Il peut être important pour le pilotage de connaître le point d'application de la résultante moyenne.
- On résout ce problème numériquement : on trouve le point (0, 2.7 mm)



# III. Vérification de notre modèle grâce à une maquette

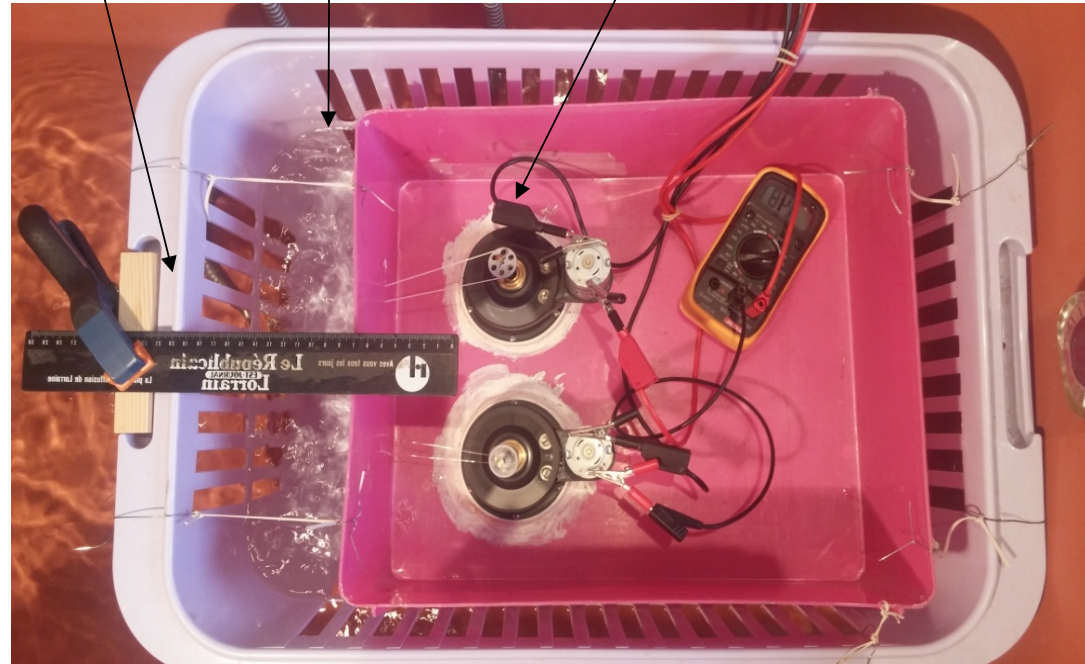
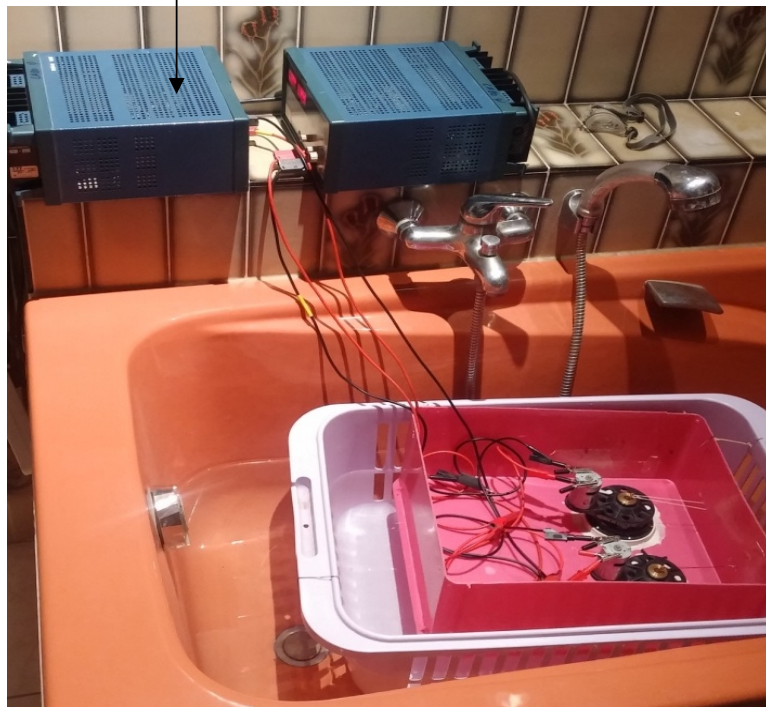
## a) Expérience

Alimentation

Échelle

Élastique

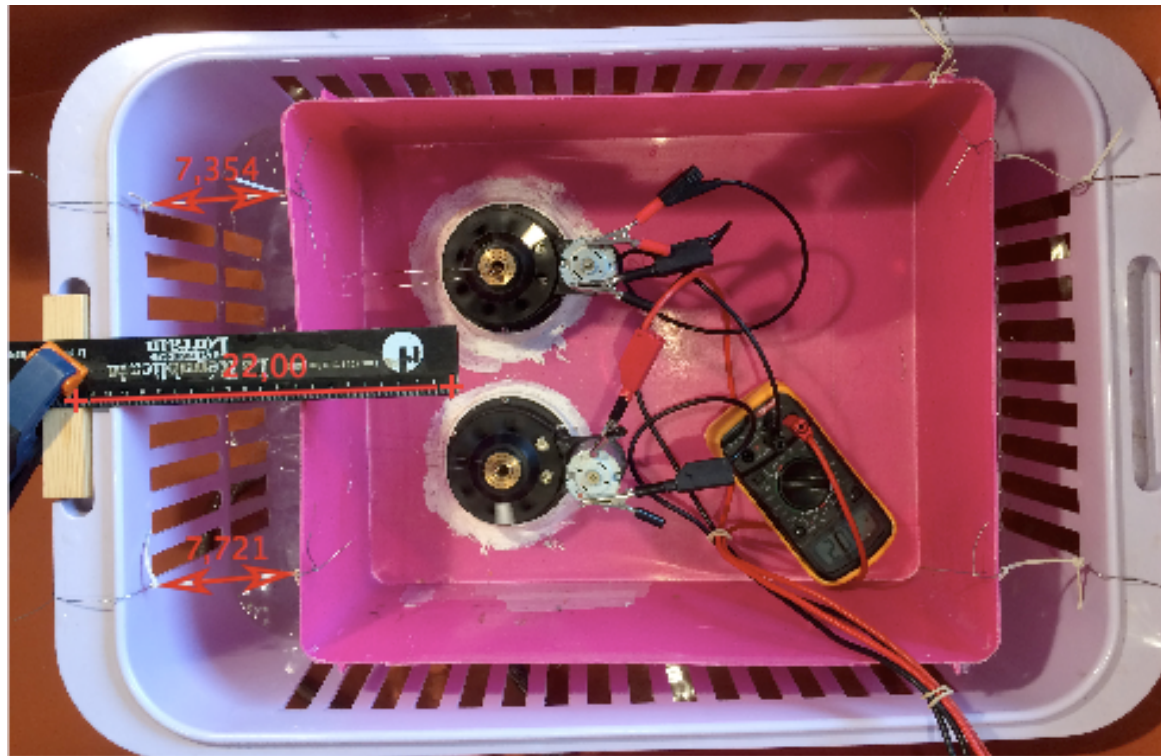
Position de l'excentrique





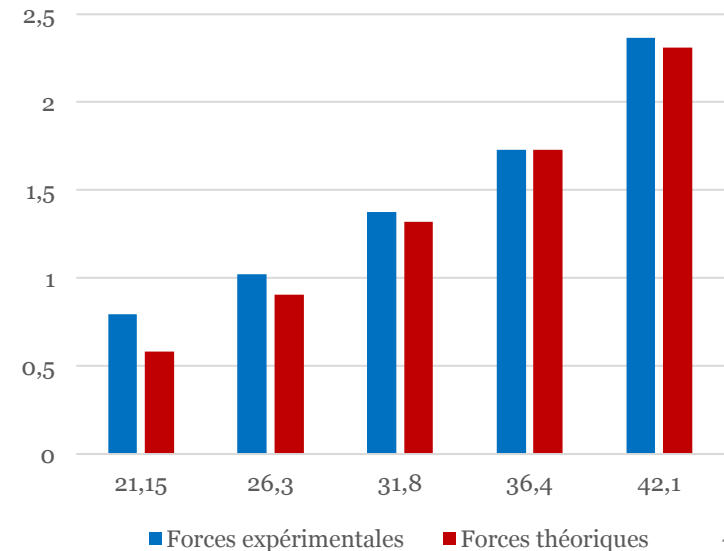
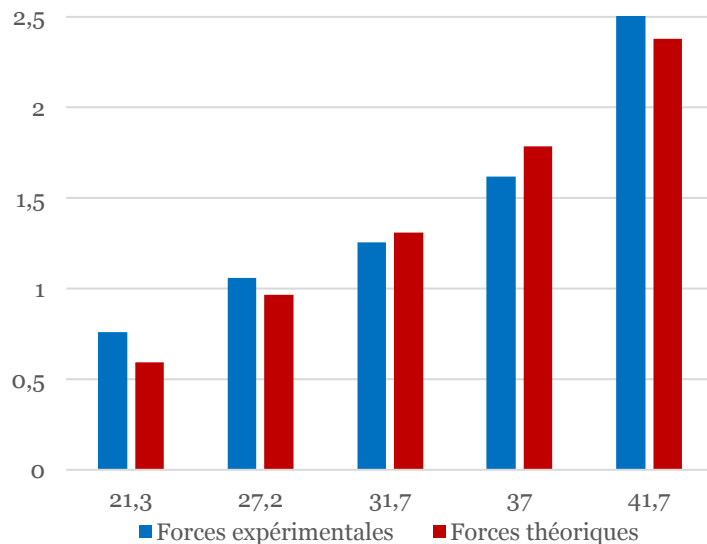
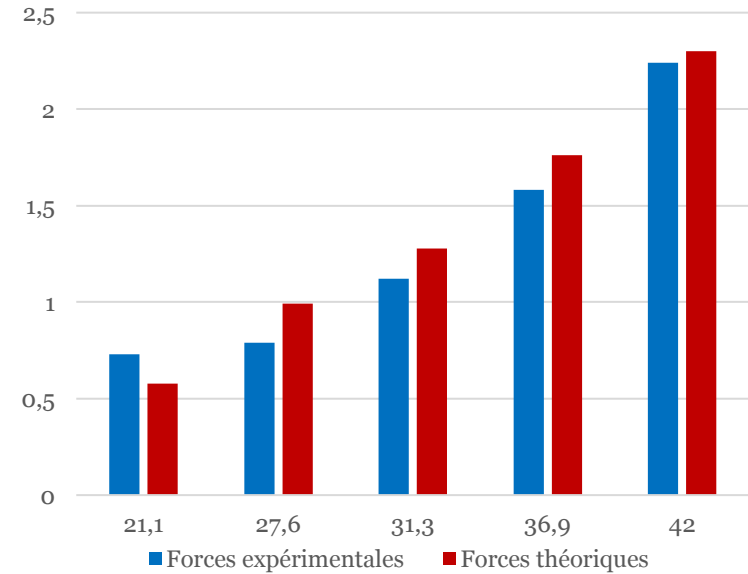
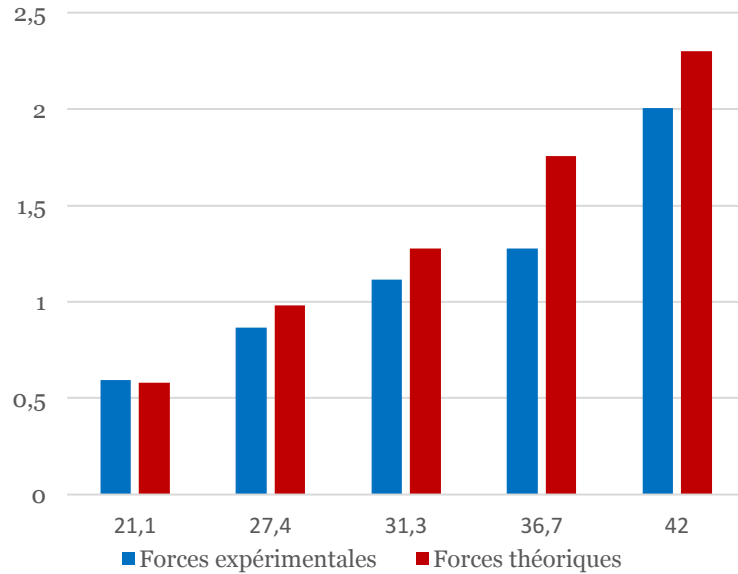
## b) Exploitation des résultats

- Détermination de la raideur des élastiques par mon binôme.
- À l'aide du logiciel Tracker, mesurer l'élongation de chaque élastique et en déduire les efforts développés par le VSP





# c) Comparaison des résultats



## d) Conclusion et erreurs

Erreurs possibles commises :

- Fortes incertitudes sur les coefficients  $C_t$  et  $C_p$
- Incertitude sur la direction des forces expérimentales
- Non prise en compte des turbulences et des remous.

# Annexes

```
1 import math
2 import matplotlib.pyplot as plt
3 import numpy as np
4 import matplotlib.patches as mpatches
5 plt.clf()
6
7 n=5 #nombre de pales
8 T=np.arange(0,2*np.pi/n,0.001)
9 e=0.02 #excentrique
10 l=0.015/2 #largeur de la demi-pale
11 r=0.03 #rayon du cercle
12 rho=1000 #masse volumique
13 S=0.015*0.05 #surface ailaire
14 w=42.1 #vitesse de rotation
15
16 def x(th): #distance excentrique-acroche de la pale
17     return math.sqrt(e**2+r**2-2*e*r*math.sin(th))
18
19 def gamma(th): #angle pale-tangente au cercle
20     resu=(2*r**2-2*e*r*np.sin(th))/(2*x(th)*r)
21     if resu>=1:
22         resu=1
23     elif resu<=-1:
24         resu=-1
25     return math.acos(resu)
26
27 def Cz(th):
28     a=gamma(th)*180/np.pi
29     return -1.75*10**(-5)*a**3+7.12*10**(-4)*a**2+1.19*10**(-2)*a
30
31 def Cx(th):
32     a=gamma(th)*180/np.pi
33     return 4.24*10**(-4)*a**2 - 3.61*10**(-3)*a + 9.46*10**(-2)
34
35 def P(th): #extrémité 1 de la pale
36     if 0<=th%(2*np.pi)<=np.pi/2 or 3*np.pi/2<=th%(np.pi*2)<=2*np.pi:
37         return [(r-l*np.sin(gamma(th)))*np.cos(th)+l*np.cos(gamma(th))*np.sin(th),(r-l*np.sin(gamma(th)))*np.sin(th)-l*np.cos(gamma(th))*np.cos(th)]
38     else:
39         return [(r+l*np.sin(gamma(th)))*np.cos(th)+l*np.cos(gamma(th))*np.sin(th),(r+l*np.sin(gamma(th)))*np.sin(th)-l*np.cos(gamma(th))*np.cos(th)]
40
41 def Q(th): #extrémité 2 de la pale
42     if 0<=th%(2*np.pi)<=np.pi/2 or 3*np.pi/2<=th%(np.pi*2)<=2*np.pi:
43         return [(r+l*np.sin(gamma(th)))*np.cos(th)-l*np.cos(gamma(th))*np.sin(th),(r+l*np.sin(gamma(th)))*np.sin(th)+l*np.cos(gamma(th))*np.cos(th)]
44     else:
45         return [(r-l*np.sin(gamma(th)))*np.cos(th)-l*np.cos(gamma(th))*np.sin(th),(r-l*np.sin(gamma(th)))*np.sin(th)+l*np.cos(gamma(th))*np.cos(th)]
46
47 def Fx(th):
48     return 0.5*rho*S*(r*w)**2*Cx(th)
49
50 def Fz(th):
51     if 0<=th%(2*np.pi)<=np.pi/2 or 3*np.pi/2<=th%(np.pi*2)<=2*np.pi:
52         return 0.5*rho*S*(r*w)**2*Cz(th)
53     else:
54         return - 0.5*rho*S*(r*w)**2*Cz(th)
55 --
```

```

59 C=np.arange(0,2*np.pi,0.001)    #tracé du cercle
60 X=[r*np.cos(c) for c in C]
61 Y=[r*np.sin(c) for c in C]
62 plt.plot(X,Y,'k')
63 plt.plot([0,0],[0,e],'or') #tracé de l'excentrique
64
65 for i in range(-2,3): #tracé des rayons et des pales
66     plt.plot([0,r*np.cos(np.pi*2/5*i)], [e,np.sin(np.pi*2/5*i)*r], 'b')
67     plt.plot([P(np.pi*2/5*i)[0],Q(np.pi*2/5*i)[0]], [P(np.pi*2/5*i)[1],Q(np.pi*2/5*i)[1]], 'g')
68
69 Res=[0,0] #résultante
70 MomentEn01=0 #moment en 0 de coordonnées(0,0)
71 MomentEn02=0 #moment en un deuxième point (0,e) permettant de déterminer le centre de poussée
72 MomentEnC=0 #moment en C
73 L=np.arange(-0.01,0.01,0.001) #variation d'abscisse ou d'ordonnée
74 M=np.array([0]*len(L))
75
76 for t in T:
77     for i in range(-2,3): #tracé des vecteurs force
78         th=t+np.pi*2/5*i
79         FX=Fx(th)*np.sin(th)+Fz(th)*np.cos(th)
80         Res[0]+=FX
81         FY=Fz(th)*np.sin(th)-Fx(th)*np.cos(th)
82         Res[1]+=FY
83         plt.quiver(r*np.cos(th),r*np.sin(th),Fx(th)*np.sin(th),-Fx(th)*np.cos(th),angles='xy', scale_units='xy', scale=20,color='r')
84         plt.quiver(r*np.cos(th),r*np.sin(th),Fz(th)*np.cos(th),Fz(th)*np.sin(th),angles='xy', scale_units='xy', scale=20,color='r')
85         MomentEn01+=MomentEn0(FX,FY,r*np.cos(th),r*np.sin(th),0,0)
86         MomentEn02+=MomentEn0(FX,FY,r*np.cos(th),r*np.sin(th),0,e)
87         MomentEnC+=MomentEn0(FX,FY,r*np.cos(th),r*np.sin(th),0,0.0275080276881)
88         M=M+np.array([MomentEn0(FX,FY,r*np.cos(th),r*np.sin(th),a,0.0275080276881) for a in L]) #graphes centre de poussée
89
90 Res[0]=Res[0]/len(T) #moyenne de la résultante totale
91 Res[1]=Res[1]/len(T)
92 M=M/len(T)
93
94 def courbeMoment():
95     plt.plot(L,M) #graphes centre de poussée
96     plt.title("Variation du moment pour différentes abscisses")
97     plt.xlabel("Distance au point calculé")
98     plt.ylabel("Moment")
99     plt.grid(True)
100    plt.show()
101
102 print('Norme résultante :',(Res[0]**2+Res[1]**2)**0.5)
103 print('Norme moment en C:',MomentEnC/len(T))
104 print('Y centre de poussée',-MomentEn01/len(T)/Res[0])
105
106 plt.quiver(0,0.0275080276881,Res[0],Res[1],angles='xy', scale_units='xy', scale=30,color='r') #tracer résultante
107 red_patch = mpatches.Patch(color='red', label='Norme de la résultante : '+str(round((Res[0]**2+Res[1]**2)**0.5,2))+ ' N')
108 plt.legend(handles=[red_patch])
109 plt.axis('Equal')
110 plt.axis([-0.05,0.05,-0.05,0.05])
111 plt.title("Représentation de la résultante moyenne")
112 plt.show()

```

```

74
75 FY=[] for i in range(n)] #liste de la résultante selon y pour chaque pale
76 FX=[] for i in range(n)]
77 Ry_n=[]
78 Theta=np.arange(0,np.pi*2,np.pi*2/resolution) #angle theta qui varie
79
80 for i in range(n):
81     for th in Theta: #représentation de la résultante à plusieurs instants
82         FY[i]+=[Fz(np.pi*2/n*i+th)*np.sin(np.pi*2/n*i+th)-Fx(np.pi*2/n*i+th)*np.cos(np.pi*2/n*i+th)]
83         FX[i]+=[Fx(np.pi*2/n*i+th)*np.sin(np.pi*2/n*i+th)+Fz(np.pi*2/n*i+th)*np.cos(np.pi*2/n*i+th)]
84
85 for th in range(len(FX[0])):
86     resu=0
87     for i in range(len(FX)):
88         resu+=FY[i][th]
89     Ry_n+=[resu]
90
91 FY=[] for i in range(n+1)] #liste de la résultante selon y pour chaque pale pour n+1
92 FX=[] for i in range(n+1)]
93 Theta=np.arange(0,np.pi*2,np.pi*2/resolution)
94 Ry_np1=[]
95
96 for i in range(n+1):
97     for th in Theta: #représentation de la résultante à plusieurs instants pour n+1 pales
98         FY[i]+=[Fz(np.pi*2/(n+1)*i+th)*np.sin(np.pi*2/(n+1)*i+th)-Fx(np.pi*2/(n+1)*i+th)*np.cos(np.pi*2/(n+1)*i+th)]
99         FX[i]+=[Fx(np.pi*2/(n+1)*i+th)*np.sin(np.pi*2/(n+1)*i+th)+Fz(np.pi*2/(n+1)*i+th)*np.cos(np.pi*2/(n+1)*i+th)]
100
101 for th in range(len(FY[0])): #idem pour n+1 pales
102     resu=0
103     for i in range(len(FX)):
104         resu+=FY[i][th]
105     Ry_np1+=[resu]
106
107 plt.figure(1)
108 plt.title("Oscillation de la résultante projetée sur la verticale")
109 plt.xlabel("Angle (rad)")
110 plt.ylabel("Résultante projetée sur la verticale")
111 plt.plot(Theta,Ry_n,color='r',label='Résultante verticale pour '+str(n))
112 plt.axis([0,7,-0.5,0.5])
113 plt.plot(Theta,Ry_np1,color='b',label='Résultante verticale pour '+str(n+1))
114 plt.axis([0,7,-0.5,0.5])
115 plt.legend(loc='best')
116 plt.show()

73 for ti in np.arange(-np.pi*2/n*3/10,np.pi*2/n*4/10,np.pi*2/n/10): #représentation de la résultante à plusieurs instants
74     FX,FY=0,0
75     for i in range(n):
76         if ti!=np.pi*2/n*5/10:
77             th=ti+np.pi*2/n*i+t
78             FX+=Fx(th)*np.sin(th)+Fz(th)*np.cos(th)
79             FY+=Fz(th)*np.sin(th)-Fx(th)*np.cos(th)
80     plt.quiver(0,0,FX,FY,angles='xy', scale_units='xy', scale=1,color='b')
81
82 plt.axis([0,2,-4,4])
83 plt.title("Résultante à différents instants")
84 plt.xlabel("Selon x (N)")
85 plt.ylabel("Selon y (N)")
86 plt.show()

```

```

73 Fmax=[0,0]
74 Fmin=[0,0]
75 F0=[0,0]
76
77 for ti in np.arange(0,np.pi*2/n,np.pi*2/n/1000): #représentation de la résultante à plusieurs instants
78     (Fy,FX)=(0,0)
79     for i in range(n):
80         th=ti+np.pi*2/n*i
81         Fy+=Fz(th)*np.sin(th) - Fx(th)*np.cos(th)
82         FX+=Fz(th)*np.cos(th) + Fx(th)*np.sin(th)
83     if Fy>=Fmax[1]:
84         Fmax[1]=Fy
85         Fmax[0]=FX
86     if Fy<=Fmin[1]:
87         Fmin[1]=Fy
88         Fmin[0]=FX
89     F0[0]+=FX
90     F0[1]+=Fy
91
92 Longueur=len(np.arange(0,np.pi*2/n,np.pi*2/n/1000))
93 plt.quiver(0,0,Fmin[0],Fmin[1],angles='xy', scale_units='xy', scale=1,color='r')
94 plt.quiver(0,0,Fmax[0],Fmax[1],angles='xy', scale_units='xy', scale=1,color='r')
95 plt.quiver(0,0,F0[0]/Longueur,F0[1]/Longueur,angles='xy', scale_units='xy', scale=1,color='r')
96 Fmax2=[0,0]
97 Fmin2=[0,0]
98 F02=[0,0]
99
100 for ti in np.arange(0,np.pi*2/(n+1),np.pi*2/(n+1)/1000): #représentation de la résultante à plusieurs instants
101     (Fy,FX)=(0,0)
102     for i in range(n+1):
103         th=ti+np.pi*2/(n+1)*i
104         Fy+=Fz(th)*np.sin(th) - Fx(th)*np.cos(th)
105         FX+=Fz(th)*np.cos(th) + Fx(th)*np.sin(th)
106     if Fy>=Fmax2[1]:
107         Fmax2[1]=Fy
108         Fmax2[0]=FX
109     if Fy<=Fmin2[1]:
110         Fmin2[1]=Fy
111         Fmin2[0]=FX
112     F02[0]+=FX
113     F02[1]+=Fy
114
115 Longueur=len(np.arange(0,np.pi*2/(n+1),np.pi*2/(n+1)/1000))
116 plt.quiver(0,0,Fmin2[0],Fmin2[1],angles='xy', scale_units='xy', scale=1,color='b')
117 plt.quiver(0,0,Fmax2[0],Fmax2[1],angles='xy', scale_units='xy', scale=1,color='b')
118 plt.quiver(0,0,F02[0]/Longueur,F02[1]/Longueur,angles='xy', scale_units='xy', scale=1,color='b')
119 red_patch = mpatches.Patch(color='red', label='Résultante pour '+str(n))
120 blue_patch = mpatches.Patch(color='blue', label='Résultante pour '+str(n+1))
121 plt.legend(handles=[red_patch]+[blue_patch],loc=3)
122 plt.title("Résultante maximale, minimale et moyenne")
123 plt.xlabel("Selon x (N)")
124 plt.ylabel("Selon y (N)")
125 plt.axis([0,2,-2,2])
126 plt.show()

```



## Force développée (en N) par l'élastique en fonction de sa longueur (en cm)

